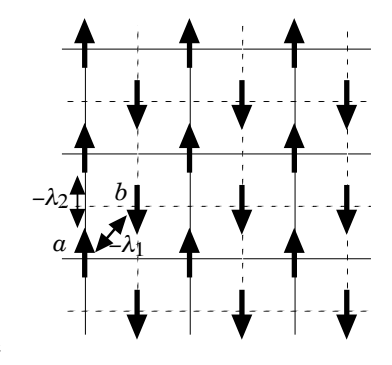
反強磁性体

最隣接スピン同士が反平行に揃った反強磁性体が 生ずる様子も、2つの副格子をもつWeissの分子場 理論により上手く理解できる。右の図において、実 線で格子aを、破線でbを表す。それぞれの格子内 のスピン間には、反強磁性的な分子場 $(-\lambda_2, \lambda_2>0)$ が、また、2つの副格子間のスピンの間には、反強 磁性的な分子場 $(-\lambda_1, \lambda_1 > 0)$ が働くと仮定する。そ れぞれの副格子に属するスピン数は、N/2 ずつであ る。反強磁性なので、それぞれの格子の磁化は、Ma $=-M_h$ だとしよう。そうすると、それぞれの格子内 のスピンが受ける分子場を



$$H_e^a = -\lambda_2 M_a - \lambda_1 M_b = (\lambda_1 - \lambda_2) M_a \tag{10}$$

$$H_{\rho}^{b} = -\lambda_{2} M_{h} - \lambda_{1} M_{\alpha} = (\lambda_{1} - \lambda_{2}) M_{h} \tag{11}$$

と書き表せる。一方、磁化 Ma は、Brillouin関数で

$$M_{\alpha} = \frac{N}{2} g \mu_{B} S B_{S}(x_{\alpha}) \approx \frac{N}{2} g \mu_{B} S x_{\alpha}, \quad (x_{\alpha} <<1, \ \alpha = \alpha, \ b), \tag{12}$$

$$x_{\alpha} = \frac{g\mu_{B}SH_{e}^{\alpha}}{k_{B}T} \quad \sharp \quad 0 \quad , \quad H_{e}^{\alpha} = \frac{k_{B}T}{g\mu_{B}S}x_{\alpha}$$
 (13)

である。また、(10)、(11) 式より、

$$M_{\alpha} = \frac{H_e^{\alpha}}{\lambda_1 - \lambda_2} = \frac{k_B T}{g \mu_B S(\lambda_1 - \lambda_2)} x_{\alpha} \tag{14}$$

が得られる。(12) 式と組み合わせて、Brillouin関数 ox_a =0における接線に等しくなる温度が Néel 温度になるので、

$$M_{\alpha} = \frac{k_B T}{g \mu_B S(\lambda_1 - \lambda_2)} x_{\alpha} = \frac{N}{2} g \mu_B S x_{\alpha},$$

結局、反強磁性転移温度 T_N は、

$$\begin{split} T_{N} = & \frac{Ng^{2}\mu_{B}^{2}(\lambda_{1} - \lambda_{2})}{4k_{B}}, (S = 1/2) \quad T_{N} = \frac{Ng^{2}\mu_{B}^{2}S(S + 1)(\lambda_{1} - \lambda_{2})}{3k_{B}} \end{split}$$
 The state of the properties of the propertie

TN以上の常磁性状態では、それぞれの磁化は

$$M_{a}\!=\!\frac{N}{2}\frac{g^{2}\mu_{B}^{2}S\!(S\!+\!1)}{3k_{B}T}(H\!-\!\lambda_{2}M_{a}\!-\!\lambda_{1}M_{b})$$

$$M_b \!=\! \frac{N}{2} \frac{g^2 \mu_B^2 S(S\!+\!1)}{3 k_B T} (H\!-\!\lambda_2 M_b\!-\!\lambda_1 M_a)$$

と書かれる。常磁性状態では、 M_a と M_b には差は無く等価なので、

$$M = \frac{Ng^{2}\mu_{B}^{2}S(S+1)}{3k_{B}T}(H - (\lambda_{1} + \lambda_{2})M)$$

となり、M で整理すると、

$$M = \frac{Ng^2 \mu_B^2 S(S+1)}{3k_B T} \frac{1}{1 + \frac{Ng^2 \mu_B^2 S(S+1)(\lambda_1 + \lambda_2)}{3k_B T}} H = \frac{Ng^2 \mu_B^2 S(S+1)}{3k_B (T-\Theta)} H \cdot \frac{1}{3k_B (T-\Theta)} H \cdot \frac{1}{3k_B$$

と整理される。ここで、

$$\Theta = -\frac{Ng^2\mu_B^2S(S+1)(\lambda_1 + \lambda_2)}{3k_B}$$

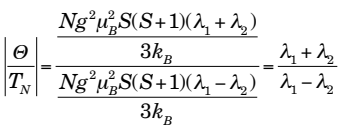
が得られる。

$$\lambda_1 > \lambda_2 > 0$$

なので、Θは負の値を取る。

ネール温度 T_N 以下では、スピンの方向に平行な時の磁 化率 γ// は、スピンが反転しない限り磁化が発生しないこ とを反映し、指数関数的に低温では消えていく。一方、ス ピンの向きと垂直方向に磁場を加えた時には、スピンの向 きが磁場に比例して傾くため、温度によらない一定値 χι = $1/\lambda$ (= $\chi(T=|\Theta|)$)を取る(何故なら、 $M_{\perp}=2M_1\sin\theta=$ H/λ , $\sin\theta = (H/2)/(\lambda M_1)$

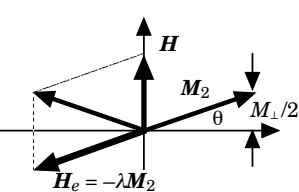
キュリーワイス温度Θとネール温度 T_N



これらの大きさの比を取ると、

存性。ネール温度 T_N 以上で は、等方的でキュリーワイス 則に従い、 T_N 以下では異方的 になる。

反強磁性体の磁化率の温度依



と整理できる。この比の意味するところは、第2近接スピン間の相互作用、λ2、がどの程度 重要かを表す指標になる。λ₀がゼロの時に、これらの比は1になる。λ₁に対して無視できな くなれば、この比が増大してくることになる。